

## 円錐形島周辺の津波の変形特性

福岡工業高等専門学校 正員 烏田 富美男

1. まえがき： 1983年5月26日に発生した日本海中部地震津波では、薩摩諸島、佐渡ヶ島、奥尻島、袖ヶ浦の島では津波越上高が高く、被害も大きかった。本研究では、このような島周辺の津波挙動を明確にするため、簡単な形状である円錐形の島模型を用いて水理実験および数値計算により、島周辺の長波の挙動について検討する。一般に、津波の周期は数分から数十分程度の波であるが、ここでは実験装置の制限があるので、津波の周期よりかなり周期の短い長波を対象とした。

2. 実験装置および実験方法： 実験は、図-1に示すように長さ10mの造波板をもつ造波機と設置した幅20m、長さ25m、深さ50cmの平面水槽を使用して行った。島模型は重鉄鉄板製で、底面の直徑1m、高さ25cmの円錐形島模型と造波板から11m、入射波測定用の容量式波高計を造波板から6mの位置に設置し、水深さは20cmとした。実験は周期Tを2.96sec, 3.48sec, 4.83secの3種類変化し、図-2に示したL1からL5までの線分に沿って島の中心から10cmごとの最大水位上昇量を測定した。

3. 実験結果および考察： 図-3は、図-2に示したL1からL5の線分に沿って島の中心から10cmごとの最大水位上昇量を測定した。入射波の振幅で除した波高増幅率Rを表わしたもの

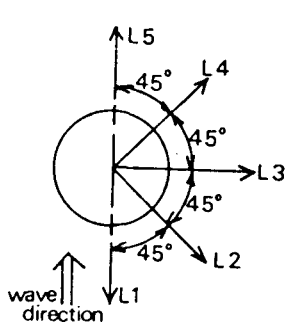


図-2 波高測定位置

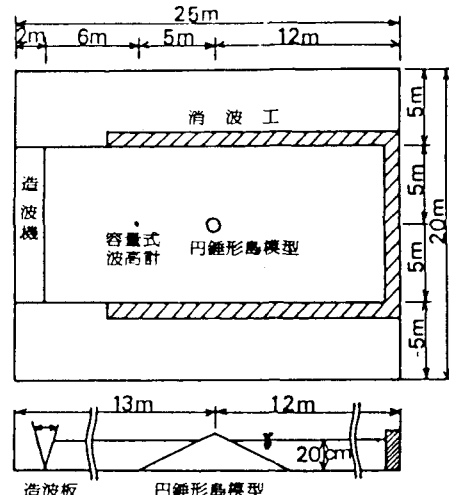


図-1 実験水槽

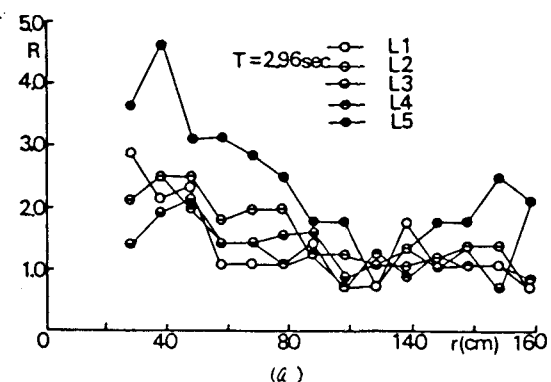
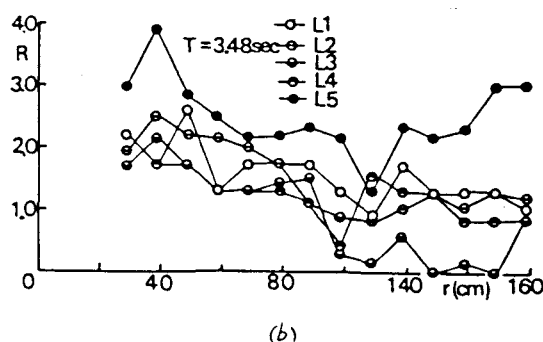
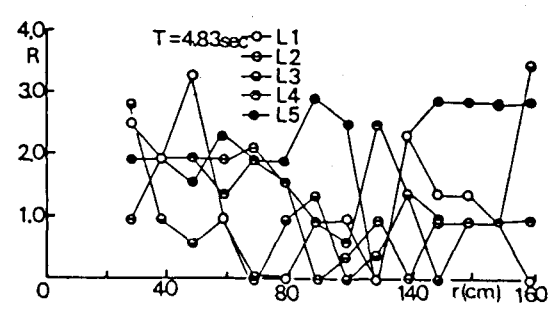


図-3 円錐形島周辺の波高増幅率



(b)



(c)

図-3 円錐形島周辺の波高増幅率

のである。図より、周期の変化により増幅率が若干異なる、といふか、●印で表わしたL3などの周期でもほぼ最大になり、これは直接波が入射する場所より、島の反対側で波高が大きくなっていることを示す。また、図より、L3、L4がL1などよりも小さくなっていることを示す。図より、L1からL5方向に打上げ高を入射波の振幅で割り、Rとして表わしたものであり、横軸は入射波の進行方向との角度を示す。図より、打上げ高は0か90°か180°で最もなり、図-3の結果と一致する。

4. 数値計算：数値計算は、水深方向に積分した、移流項および摩擦項を含む長波の運動方程式と連続式・差分方程式に変換して行った。計算手法および境界条件は数値

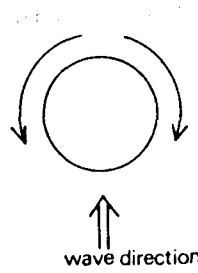
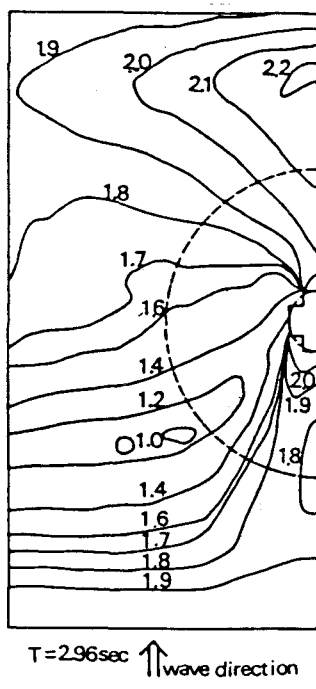
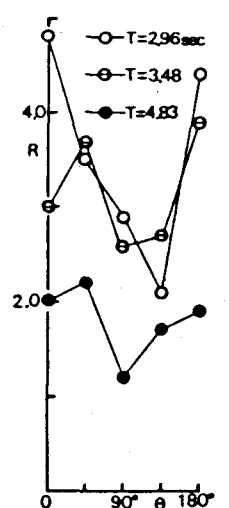
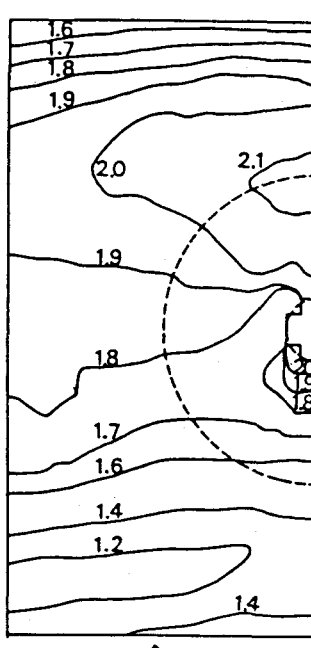


図-4 汀線付近の流れの状況



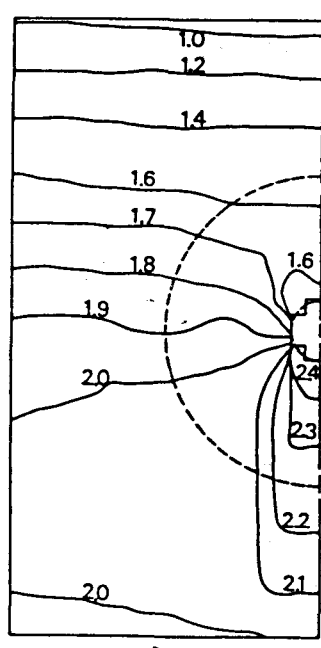
T=2.96sec ↑ wave direction

(a)



T=3.48sec ↑ wave direction

(b)



T=4.83sec ↑ wave direction

(c)

図-6 円盤形島周辺における波高分布(数値計算結果)

波動解析法とはほぼ同じである。計算領域は、水理実験の条件と同じとした。すなはち、底面の直角/m、高さ25cmの円盤形島模型を含んだ9cm×3cmの長方形領域とした。この領域を5cm×3cmの格子で分割し、計算時間間隔は0.02secとした。入射波は振幅/cmの正弦波とし、周期は水理実験と同様に3種類変化した。図-6は数値計算結果で、実験結果と同様に波の入射側より島の反対側で波高が大きくなる場合があることわかる。

#### 参考文献

- 1) 谷本勝利・小舟治治・小松和彦：数値波動解析法による港内波高分布の計算、運輸省港湾技術研究所報告、第12卷、第3号、pp.35-58、1975。